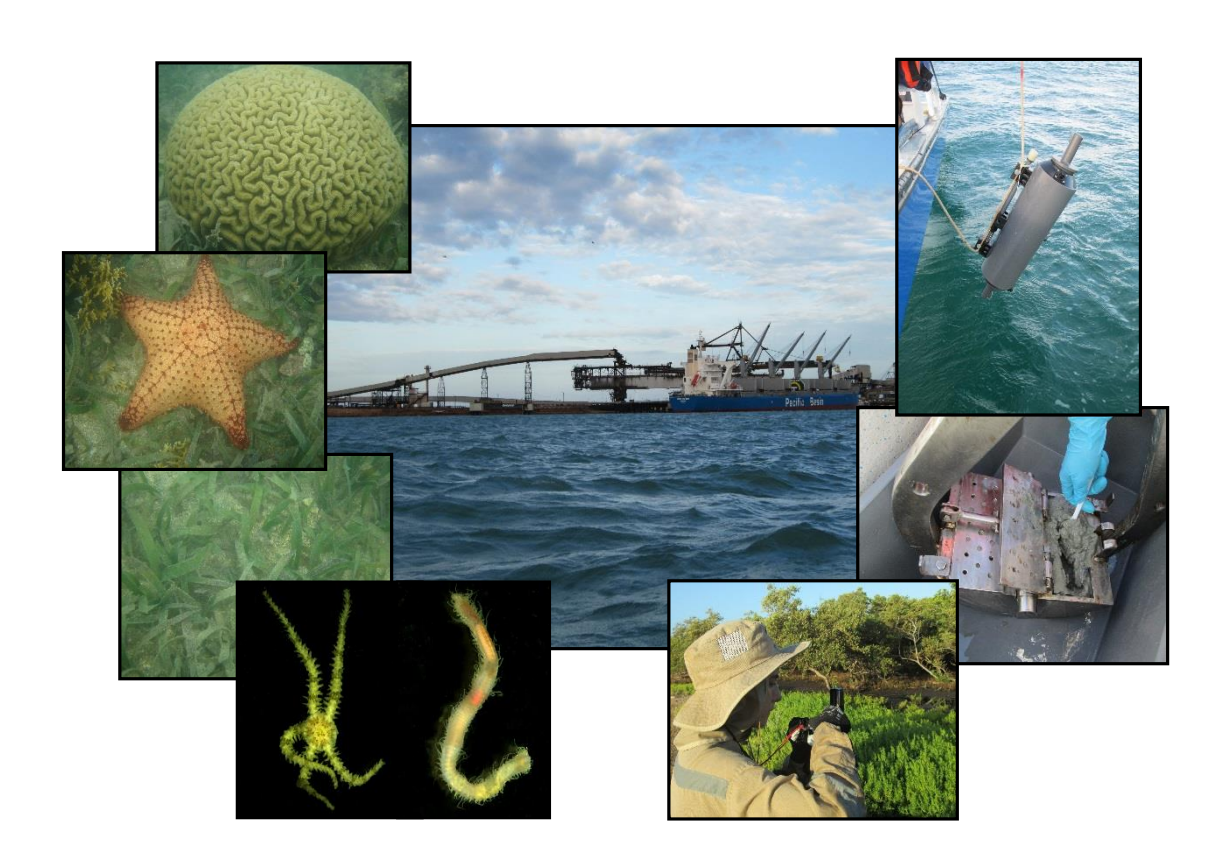




MONITOREO DE ECOSISTEMAS MARINOS DE BAHÍA PORTETE (PUERTO BOLÍVAR)



INFORME TÉCNICO FINAL

CON -CSC-015-015 CERREJON IV ITF

Santa Marta D.T.C.H., agosto de 2016

Instituto de Investigaciones Marinas y Costeras "José Benito Vives De Andréis" - INVEMAR Vinculado al Ministerio de Ambiente y Desarrollo Sostenible

MONITOREO DE ECOSISTEMAS MARINOS DE BAHÍA PORTETE (PUERTO BOLÍVAR)

INFORME TÉCNICO DE AVANCE

CUERPO DIRECTIVO

Director

Francisco A. Arias Isaza

Subdirector

Coordinador de investigaciones Jesús Antonio Garay Tinoco

Coordinador

Programa Biodiversidad y Ecosistemas Marinos (REM)

David Alonso Carvajal

Coordinador

Programa Valoración y Aprovechamiento de Recursos Marinos Vivos (VAR)

Mario Rueda Hernández

Coordinadora

Programa Calidad Ambiental Marina (CAM) Luisa Fernanda Espinosa

Coordinadora

Coordinación de Investigación e Información para Gestión Marina y Costera (GEZ)

Paula Cristina Sierra Correa

Coordinadora

Programa de Geociencias Marinas (GEO) Constanza Ricaurte Villota

Coordinador

Coordinación de Servicios Científicos Julian Betancourt Portela

Subdirector de Recursos y Apoyo a la Investigación (SRA)

Sandra Rincón Cabal

Cítese como: BOLAÑO, M., M. AGUILAR, E. BARRIOS, I. CAICEDO, C. GIRALDO, J. HERNÁNDEZ, L. RAMOS. 2016. Monitoreo de ecosistemas marinos de Bahía Portete (puerto Bolívar). Coordinación de Servicios científicos. INVEMAR. Informe Técnico Final para Cerrejon Colombian Limited. Santa Marta, D.T.C.H. Colombia. 329 páginas + anexos.

Código de proyecto: CON-CSC-015-15-ITF



INVEMAR - Calle 25 N° 2-55. Sector Playa Salguero -Rodadero Sur Santa Marta – Colombia Apartado Aéreo 1016, PBX: (57) (5) 4328600 Fax: (57) (5) 4328694 http://www.INVEMAR.org.co

COORDINACIÓN DE SERVICIOS CIENTÍFICOS

Julián Betancourt - COORDINADOR SERVICIOS CIENTÍFICOS

Juan Carlos Márquez Hoyos — ASESOR CIENTÍFICO Y ADMINISTRATIVO

GRUPO DE INVESTIGACIÓN

Maryela Paola Bolaño Lara - JEFE DE PROYECTO

COMPONENTES TÉCNICOS

Lina Ramos Ortega — CALIDAD DE AGUAS Y SEDIMENTOS

Julián Hernández Pinto — ANÁLISIS MINERALÓGICO

Israel Caicedo Torrado — FORMACIONES CORALINAS

María Aguilar Pérez — PASTOS MARINOS

Eliana Barrios Vásquez — MACROFAUNA BENTÓNICA DE FONDOS BLANDOS

Claudia Giraldo Escobar — MANGLARES

CARTOGRAFÍA

Diana Romero - LABSIS INVEMAR

PERSONAL DE APOYO EN CAMPO Y LABORATORIO

Freiman Ayala Rivera, Karen Serna, Tibisay Posada, Carlos Benitez, Eduardo García, Juan Cortés, María Aguilar, Ángela Marulanda, Frank Montes, Sergio Tafur, Luisa Sierra, Juan Asís, Jairo Romero, Luis Hernández, Everaldo López, John Beltrán, Víctor Coronado, Eduardo Jaraba, Eduardo Vilarete, Javier Charris.

APOYO ADMINISTRATIVO Y LOGÍSTICA

Bleidis Sierra León Oscar Fawcett Pereira

Santa Marta D.T.C.H., agosto de 2016

Imagen portada: Imágenes obtenidas en el muestreo realizado durante la época de lluvias (CSC-INVEMAR).





TABLA DE CONTENIDO

<u>1.</u> R	ESUMEN EJECUTIVO	22
	RESUMEN GENERAL	22
1.1. 1.2.	RESUMEN POR COMPONENTE	
	CALIDAD DE AGUAS Y SEDIMENTOS	
1.2.1.		
1.2.2.		
1.2.3.		
1.2.4.		
1.2.5.		
1.2.0.	MANGLAKES	27
<u>2. II</u>	NTRODUCCIÓN	28
<u>3.</u> A	LCANCE DEL ESTUDIO	30
3.1.	OBJETIVO GENERAL	30
3.2.	OBJETIVOS ESPECÍFICOS	30
ΔÁ	REA DE ESTUDIO	21
<u> </u>	NEA DE ESTODIO	<u></u>
	CONSIDERACIONES GENERALES	31
4.2.	CARACTERÍSTICAS FÍSICAS GENERALES DEL ÁREA	
	CLIMA	
	VIENTOS	
4.2.1.		
4.2.2.		
4.2.1.		
4.3.	DISEÑO Y RED DE ESTACIONES	38
<u>5.</u> C	ALIDAD DE AGUAS Y SEDIMENTOS	46
5.1.	CONSIDERACIONES GENERALES	
5.2.	MÉTODOS	_
5.2.1.		_
_	ANÁLISIS DE LABORATORIO	
	TRATAMIENTO DE LA INFORMACIÓN	
5.3. 5.3.1.		ວ ວ ເວ
	CARACTERIZACIÓN DE LA COLUMNA DE AGUA: VARIACIÓN ESPACIAL Y TEMPORAL	
ی.ی.∠.	CAKACTEKIZACIUN DE LOS SEDIMENTOS	0/





5.3.3.		
5.3.4.		
5.4.	CONCLUSIONES	82
<u>6.</u> A	NÁLISIS MINERALÓGICO (CONTENIDO DE CARBÓN)	8 <u>3</u>
C 1 1	CONCIDED A CIONEC CENEDALEC	02
6.1.1.		
	MÉTODOS	
6.2.1.		
6.2.2.		
6.2.3.		
6.3.	RESULTADOS Y DISCUSIÓN	
6.3.1.		
6.3.2.	,	
6.3.3.		
6.4.	CONCLUSIONES	109
7 E	ORMACIONES CORALINAS	110
<u> </u>	ORMACIONES CORALINAS	
7.1.	CONSIDERACIONES GENERALES	110
7.2.	MÉTODOS	111
7.2.1.	SALIDA DE CAMPO	111
7.2.2.		
7.3.	RESULTADOS Y DISCUSIÓN	
7.3.1.		
7.3.2.		
7.3.3.		
7.3.4.		
7.3.5.		
7.3.6.		
7.4.	CONCLUSIONES	
<u>8. P</u>	ASTOS MARINOS	138
	CONSIDERACIONES GENERALES	
	MÉTODOS	
	SALIDA DE CAMPO	
8.2.2.		
8.2.3.	-	
8.3.	RESULTADOS Y DISCUSIÓN	
8.3.1.		
8.3.2.		
8.3.3.		
8.3.4.	COMPARACIÓN MULTITEMPORAL	157





8.4.	CONCLUSIONES	163
<u>9.</u> M	NACROINFAUNA BENTÓNICA DE FONDOS BLANDOS	164
9.1.	CONSIDERACIONES GENERALES	164
9.2.	MÉTODOS	
9.2.1.	SALIDA DE CAMPO	
9.2.2.		_
	Tratamiento de la información	
9.3.		
9.3.1.		
9.3.1.		
9.3.2.	RELACIÓN CON VARIABLES AMBIENTALES	
9.3.3.		
9.4.	CONCLUSIONES	191
<u>10.</u>	MANGLARES	192
10.1.		
10.2.		
10.2.1		
10.2.2		
10.3.	112021112001211111111111111111111111111	
10.3.1		
10.3.2		
10.3.1		
10.3.2	2. CONCLUSIONES	226
<u>11.</u>	BIBLIOGRAFÍA	227
12	ANFYOS	251





ÍNDICE DE FIGURAS

(período 1986-2012). Tomado de Garrido-Linares <i>et al.</i> (2014)32
Figura 4.2. Distribución de la velocidad del viento (m·s-¹) en la estación Puerto Bolívar (período 1988-2012). Tomado de Garrido-Linares <i>et al.</i> (2014)33
Figura 4.3. Distribución mensual multianual de la velocidad del viento (m·s ⁻¹) en la estación Puerto Bolívar (período 1988-2012)33
Figura 4.4. Diagrama de caja mensual de la precipitación total mensual (mm) en la estación Puerto Bolívar (período 1986-2012). Tomado de Garrido-Linares <i>et al.</i> (2014)
Figura 4.5. Distribución de frecuencias de precipitación total mensual (mm) en la estación Puerto Bolívar (período 1988-2012). Tomado de Garrido-Linares <i>et al.</i> (2014)
Figura 4.6. Distribución mensual multianual de la precipitación (mm) en la estación Puerto Bolívar (período 1988-2012). Tomado de Garrido-Linares <i>et al.</i> (2014)35
Figura 4.7. Bahía Portete (Geología del departamento de la Guajira, INGEOMINAS, 2002) Escala original 1:250000
Figura 4.8. Altura de la ola en el periodo de tiempo comprendido entre 2000 y 2009. Fuente de datos: Thomas <i>et al.</i> , (2012)
Figura 4.9. Ubicación de las estaciones de muestreo para cada uno de los componentes involucrados en el monitoreo. La línea verde () señala el área de influencia del puerto (A1) y la línea azul (), señala el área fuera de la influencia del puerto (A2), de acuerdo a lo especificado por INVEMAR (2004)
Figura 4.10. Ubicación de las estaciones para el monitoreo de calidad de aguas y sedimentos, mineralógico infralitoral y macrofauna bentónica durante la época de lluvias (diciembre de 2015) y seca (marzoabril de 2016). La línea verde () señala el área de influencia del puerto (A1) y la línea azul (), señala el área fuera de la influencia del puerto (A2), de acuerdo a lo especificado por INVEMAR (2004)
Figura 4.11. Ubicación de las estaciones para el monitoreo de las formaciones coralinas. La línea verde () señala el área de influencia del puerto (A1) y la línea azul (), señala el área fuera de la influencia del puerto (A2), de acuerdo a lo especificado por INVEMAR (2004)
Figura 4.12. Ubicación de las estaciones para el monitoreo de pastos marinos. La línea verde () señala el área de influencia del puerto (A1) y la línea azul (), señala el área fuera de la influencia del puerto (A2), de acuerdo a lo especificado por INVEMAR (2004)
Figura 4.13. Ubicación de las estaciones para el monitoreo de manglares. La línea verde () señala el área de influencia del puerto (A1) y la línea azul (), señala el área fuera de la influencia del puerto (A2), de acuerdo a lo especificado por INVEMAR (2004)
Figura 4.14. Ubicación de las estaciones para el monitoreo de mineralogía de playas. La línea verde () señala el área de influencia del puerto (A1) y la línea azul (), señala el área fuera de la influencia del puerto (A2), de acuerdo a lo especificado por INVEMAR (2004)
Figura 5.1. Valores del índice Oceánico de El Niño entre 1995 - 2016. Valores mayores a 0,5 representan fenómeno de El Niño, y los menores a -0-5, al de La Niña. El índice corresponde a la media de tres meses. Datos tomados de NOAA (2016)





Figura	5.2 Recolección de muestras para calidad de aguas. a) Medición de variables <i>in situ</i> con equipos portátiles. b) Recolección de muestra en frascos de polipropileno. c) Recolección de muestra en frascos de vidrio para hidrocarburos. d) Conservación de muestras en refrigeración
Figura	5.3. Recolección de muestras para calidad de sedimentos. a) Draga tipo Van Veen. b) Recolección de muestra para hidrocarburos. c) y d) Recolección de muestra en frascos de polietileno para granulometría y metales
Figura	5.4. Valores de transparencia graficados por época climática en el área de influencia de Puerto Bolívar en el sector de Bahía Portete, La Guajira54
Figura	5.5. Valores de temperatura y salinidad graficados por época climática en el área de influencia de Puerto Bolívar en el sector de Bahía Portete, La Guajira
Figura	5.6. Valores de pH graficados por época climática en el área de influencia de Puerto Bolívar en el sector de Bahía Portete, La Guajira58
Figura	5.7. Valores de oxígeno disuelto graficados por época climática en el área de influencia de Puerto Bolívar en el sector de Bahía Portete, La Guajira59
Figura	5.8. Valores de materia orgánica graficados por época climática en el área de influencia de Puerto Bolívar en el sector de Bahía Portete, La Guajira60
Figura	5.9. Valores de sulfatos graficados por época climática en el área de influencia de Puerto Bolívar en el sector de Bahía Portete, La Guajira
Figura	5.10. Valores de nitritos y nitratos graficados por época climática en el área de influencia de Puerto Bolívar en el sector de Bahía Portete, La Guajira64
Figura	5.11. Valores de fosfatos graficados por época climática en el área de influencia de Puerto Bolívar en el sector de Bahía Portete, La Guajira
Figura	5.12. Valores de Hidrocarburos Aromáticos Totales (HAT) graficados por época climática en el área de influencia de Puerto Bolívar en el sector de Bahía Portete, La Guajira67
Figura	5.13. Distribución de tamaño de grano en las estaciones de muestreo en el área de influencia de Puerto Bolívar en el sector de Bahía Portete, La Guajira
Figura	5.14. Variación espacial de la materia orgánica en sedimentos, en el área de influencia de Puerto Bolívar en el sector de Bahía Portete, La Guajira69
Figura	5.15. Variación espacial de los Hidrocarburos Aromáticos Totales en sedimentos (HAT), en el área de influencia de Puerto Bolívar en el sector de Bahía Portete, La Guajira70
Figura	5.16. Variación espacial de los metales zinc, hierro y níquel en sedimentos, en el área de influencia de Puerto Bolívar en el sector de Bahía Portete, La Guajira72
Figura	5.17. Variación espacial de los metales plomo, cobre y cormo en sedimentos, en el área de influencia de Puerto Bolívar en el sector de Bahía Portete, La Guajira73
Figura	5.18. Representación gráfica del análisis de coordenadas principales para calidad de aguas, teniendo en cuenta los factores de variación área de influencia (A1: directa y A2: indirecta) y épocas climáticas (lluvias y seca)
Figura	5.19. Representación gráfica del análisis de coordenadas principales para calidad de sedimentos, teniendo en cuenta los factores de variación área de influencia (A1: directa y A2: indirecta) y épocas climáticas (Iluvias y seca)





Figura 5.20. Variación promedio anual (1987 - 2016) de las variables temperatura y salinidad en el área de influencia de Puerto Bolívar en el sector de Bahía Portete, La Guajira. Época seca (Sc) y época lluviosa (Ll). Valores de desviación estándar en el Anexo 12.6
Figura 5.21. Variación promedio anual (1987 - 2016) de las variables oxígeno disuelto y pH en el área de influencia de Puerto Bolívar en el sector de Bahía Portete, La Guajira. Época seca (Sc) y época lluviosa (Ll). Valores de desviación estándar en el Anexo 12.6
Figura 5.22. Variación promedio anual (2003 - 2016) de las variables nitritos (NO ₂), nitratos (NO ₃) y fosfatos (PO ₄) en el área de influencia de Puerto Bolívar en el sector de Bahía Portete, La Guajira. Época seca (Sc) y época lluviosa (LI). Valores de desviación estándar en el Anexo 12.6
Figura 5.23. Variación promedio anual (2003 - 2016) de los Hidrocarburos Aromáticos Totales (HAT) en el área de influencia de Puerto Bolívar en el sector de Bahía Portete, La Guajira. Época seca (Sc) y época lluviosa (LI). Valores de desviación estándar en el Anexo 12.6
Figura 5.24. Variación promedio anual (2003 - 2016) de la materia orgánica en sedimentos, en el área de influencia de Puerto Bolívar en el sector de Bahía Portete, La Guajira. Época seca (Sc) y época lluviosa (Ll). Valores de desviación estándar en el Anexo 12.7
Figura 5.25. Variación promedio anual (2003 - 2016) de los Hidrocarburos Aromáticos Totales (HAT) en sedimentos, en el área de influencia de Puerto Bolívar en el sector de Bahía Portete, La Guajira. Época seca (Sc) y época lluviosa (LI). Valores de desviación estándar en el Anexo 12.781
Figura 5.26. Variación promedio anual (2003 - 2016) de los metales en sedimentos, en el área de influencia de Puerto Bolívar en el sector de Bahía Portete, La Guajira. Época seca (Sc) y época lluviosa (LI). Valores de desviación estándar en el Anexo 12.7
Figura 6.1. Recolección de muestras de sedimentos para análisis mineralógico. a) Draga Van Veen (0,05 m²) con muestra recolectada; b) Almacenamiento de la muestra en bolsas etiquetadas
Figura 6.2. Recolección de muestras de sedimentos de playa para análisis mineralógico a) Maniobra para muestreo empleando nucleador; b) toma de la muestra; c) extremo superior del nucleador sellado para proceder a la extracción de la muestra; d) muestra de núcleo sellada a sus extremos para su transporte
Figura 6.3. Procedimiento del trabajo de laboratorio. a) Columna de tamices sobre un vibrador, utilizada en la separación granulométrica; b) determinación del contenido mineralógico utilizando lupa estereoscópica MOTICAM; c) montaje para la separación de carbón por densidad
Figura 6.4. Curvas de acumulación granulométrica en escala logarítmica según el diámetro de partículas (mm) en las muestras infralitoral, en época de lluvias91
Figura 6.5. Curvas de acumulación granulométrica en escala logarítmica según el diámetro de partículas (mm) en las muestras infralitoral, en época seca
Figura 6.6. Playa Ipari (P1). a) vista al NE en época de lluvias; b) vista al SW en época de lluvias; c) vista al NE época seca; d) vista al SW época seca
Figura 6.7. Playa estación P2. Toma desde el punto de muestreo P2B. a) vista al NE en época de lluvias; b) vista al SW en época de lluvias; c) vista al NE en época seca, un poco más cerca a la malla norte del puerto; d) vista al SW en época seca
Figura 6.8. Estación P3 próximo al parque eólico. a) Sección de playa litoral rocoso donde se extrajo la muestra P3B; b) vista NE del sector P3A para época de lluvias; c) época seca; d) época seca96
Figura 6.9. Playa estación P4 diagonal al Parque eólico. Toma desde el punto de muestreo P4B. a) Playa extensa vista al NE, en época de lluvias; b) Playa extensa que termina con el espolón en rocas,





	con el espolón en rocas, vista al SW en época seca97
en época sediment al NE, ép	a estación P5. a) Playa angosta, gravosa, al borde de terrazas sedimentarias vista al NE, de lluvias; b) costado SW se observan gravas, vegetación en zona de playa, terrazas bajas arias, época de lluvias; c) Playa angosta, gravosa, al borde de terrazas sedimentarias vista oca seca; d) costado SW se observan gravas, vegetación en zona de playa, terrazas bajas arias, época seca
en época del mar, acceso a gravas y angosta	ción P6 sobre elmuelle Early Coal. Toma desde el punto de muestreo P6B. a) Vista al SE de lluvias, se observa acantilado de areniscas con evidente desgaste de la roca por acciór presencia de algunos cantos rodados, con nivel alto del agua y fuerte oleaje, impidiendo punto P6A; b) vista al NW de P6B en época de lluvias playa angosta con presencia de bioturbación al borde de las laderas sedimentaria; c) vista al NW desde el punto P6A, playa con abundantes guijas, restos de conchas y cantos rodados; d) vista al NW de P6B er ca.
	as de acumulación granulométrica en escala logarítmica según el diámetro de partículas las muestras de playa, en época de lluvias102
-	as de acumulación granulométrica en escala logarítmica según el diámetro de partículas las muestras de playa, en época seca
-	mparación del contenido de carbón entre el 2010 y 2015. a) Muestras del infralitoral; b) s de playa (zona intermareal)
de acero	treo de formaciones coralinas en bahía Portete. a) Lancha <i>Pristis</i> del INVEMAR. b) Estaca inoxidable para delimitar la parcela. c) Tramo de un transecto pasando sobre una cabeza astrea siderea. d) Registro de porcentajes de cobertura en un cuadrante de 1m²112
coralinas	ado de los cuatro transectos dentro de cada parcela de monitoreo de las formaciones de bahía Portete. Se muestra la unidad de muestreo (cuadrante de 1 m²), utilizada 40 cada parcela113
monitore	ertura (%) promedio de las categorías del sustrato en las formaciones coralinas adas en bahía Portete. Se unificaron los datos primarios registrados en época lluviosa re 2015) y época seca (abril 2016)119
Sediment	rtura (%) promedio de los principales componentes del sustrato (<i>Thalassia testudinum</i> to y <i>Millepora alcicornis</i>) en las formaciones coralinas monitoreadas en bahía Portete (2015- 121
bahía Po <i>natans</i> . e	cies de corales hermatípicos registradas durante el presente monitoreo (2015-2016) er rtete. a) <i>Millepora alcicornis.</i> b) <i>Agaricia agaricites.</i> c) <i>Orbicella annularis.</i> d) <i>Colpophyllia</i> e) <i>Favia fragum.</i> f) <i>Pseudodiploria clivosa.</i> g) <i>Pseudodiploria strigosa.</i> h) <i>Oculina diffusa.</i> i streoides. j) <i>Porites porites.</i> k) <i>Siderastrea siderea.</i> l) <i>Siderastrea radians</i> 123
	tura (%) promedio de las especies de corales hermatípicos registradas en las formaciones monitoreadas en bahía Portete (2015-2016)125
monitore	es de diversidad de Shannon (H') y equitatividad de Pielou (J') de las formaciones coralinas adas en bahía Portete en época de lluvias (diciembre 2015) y época seca (abril 2016). 127
Figura 7.8. Anális	sis de clasificación de las formaciones coralinas monitoreadas en bahía Portete en las dos limáticas. L = época de lluvias (diciembre de 2015). S = época seca (abril de 2016) 128





Figura 7.9. Análisis de ordenamiento nMDS de las formaciones coralinas monitoreadas en bahía Portete durante época de lluvias (diciembre de 2015) y época seca (abril de 2016)
Figura 7.10. Análisis de ordenamiento nMDS de las formaciones coralinas monitoreadas en bahía Portete (2015-2016). a) Áreas de influencia, Área 1: área de influencia directa del puerto; Área 2: área de influencia indirecta; b) estaciones con formaciones sin talud y con talud
Figura 7.11. Comparación multianual de la cobertura (%) promedio de las categorías del sustrato en las formaciones coralinas en los tres sectores monitoreados de bahía Portete
Figura 7.12. Comparación multianual de la cobertura (%) promedio de las especies de corales hermatípicos registradas en las formaciones coralinas en los tres sectores monitoreados de bahía Portete 133
Figura 7.13. Comparación multianual de los índices de diversidad de Shannon (H' [Ln]) y equitatividad de Pielou (J') de las formaciones coralinas en los tres sectores monitoreados en bahía Portete 134
Figura 7.14. Análisis de clasificación de las formaciones coralinas en el área de estudio, bahía Portete, evaluando los monitoreos realizados en los años 2004, 2010 y 2016
Figura 7.15. Análisis de ordenamiento nMDS de las formaciones coralinas en el área de estudio, bahía Portete, evaluando los monitoreos realizados en los años 2004, 2010 y 2016
Figura 7.16. Análisis de ordenamiento nMDS de las formaciones coralinas en el área de estudio, bahía Portete, evaluando los monitoreos realizados en los años 2004, 2010 y 2016. Comparación entre estaciones: a) dentro y fuera del área de influencia del puerto; b) sin talud y con talud
Figura 8.1. Características de las parcelas empleadas en el muestreo de pastos marinos140
Figura 8.2. a) Corazonador de 16 cm, empleados en el muestreo de atributos estructurales de pastos marinos. b) Cuadrante de 1 m²140
Figura 8.3. a.) Proceso de separación de hojas y raíces b.) Biomasa foliar y rizoidal. c y d). Procedimiento con HCl. e). Medición del ancho de las hojas. f). Medición del largo de las hojas141
Figura 8.4. Separación e Identificación de organismos de macrofauna en grupos taxonómicos mayores
Figura 8.5. a.) Vástagos de <i>Syringodium filiforme</i> y b.) <i>Thalassia testudinum</i>
Figura 8.6. Comparación entre épocas climáticas de las biomasa foliares y rizoidales con corazonador y cuadrante de las pradera de pastos encontradas en las estaciones ubicadas en bahía Portete (Puerto Bolívar), Caribe colombiano. Se indican valores p obtenidos de la prueba T, y W de prueba Wilcoxon (U). A1: área de influencia directa; A2: área de influencia indirecta
Figura 8.7. Comparación de las biomasas foliar y rizoidal con corazonador y cuadrante en las estaciones ubicadas en el área de influencia de Puerto Bolívar (Bahía Portete, Caribe colombiano). Se indican valores p obtenidos de la prueba T. A1: área de influencia directa; A2: área de influencia indirecta.
Figura 8.8. Comparación entre áreas de la cobertura de las praderas de pastos marinos en las estaciones ubicadas en Puerto Bolívar (Bahía Portete, Caribe colombiano). Se indican valores p obtenidos de la prueba T. A1: área de influencia directa; A2: área de influencia indirecta
Figura 8.9. Comparación entre épocas climáticas de la cobertura de las praderas de pastos marinos en las estaciones ubicadas en Puerto Bolívar (Bahía Portete, Caribe colombiano). Se indica el valor p obtenido de la prueba Wilcoxon. A1: área de influencia directa; A2: área de influencia indirecta.
147





Portete (Puerto Bolívar), Caribe colombiano. Se indican valores p obtenidos de la prueba T. A1: área de influencia directa; A2: área de influencia indirecta
Figura 8.11. Comparación entre épocas climáticas de la densidad de vástagos por m² de las praderas de pastos marinos en las estaciones ubicadas en Puerto Bolívar (Bahía Portete, Caribe colombiano). Se indican valores p obtenidos de la prueba T. A1: área de influencia directa; A2: área de influencia indirecta.
Figura 8.12. Comparación entre áreas del Alto y Ancho de las Hojas de las praderas de pastos marinos en las estaciones ubicadas en Puerto Bolívar (Bahía Portete, Caribe colombiano). Se indican valores p obtenidos de la prueba T. A1: área de influencia directa; A2: área de influencia indirecta 149
Figura 8.13. Comparación entre épocas climáticas de la altura y ancho de las hojas (cm) de las praderas de pastos marinos en las estaciones ubicadas en Puerto Bolívar (Bahía Portete, Caribe colombiano). Se indican valores p obtenidos de la prueba T. A1: área de influencia directa; A2: área de influencia indirecta.
Figura 8.14. Comparación entre áreas de la altura y ancho de las hojas (cm) de las praderas de pastos marinos en las estaciones ubicadas en Puerto Bolívar (Bahía Portete, Caribe colombiano). Se indican valores p obtenidos de la prueba T. A1: área de influencia directa; A2: área de influencia indirecta.
Figura 8.15. Comparación de las familias (Riqueza) de los phyla para épocas de lluvias (L) y seca (S) de bahía Portete (Puerto Bolívar), Caribe colombiano
Figura 8.16. Comparacion del número de individuos (Abundancia) de los phyla para épocas de lluvias (L) y seca (S) de bahía Portete (Puerto Bolívar), Caribe colombiano
Figura 8.17. (a) Resultado del análisis de clasificación usando el índice de similitud de Bray-Curtis y ordenación mediante la técnica de escalamiento multidimensional no métrico (nMDS) de la comunidad macroinfaunal asociada a las praderas de pastos marinos en las estaciones ubicadas en Puerto Bolívar (Bahía Portete, Caribe colombiano), durante los muestreos realizados durante las épocas de lluvias (L) y seca (S)
Figura 8.18. Comparación entre épocas de la abundancia y riqueza de las praderas de pastos marinos en las estaciones ubicadas en Puerto Bolívar (Bahía Portete, Caribe colombiano). Se indican valores p obtenidos de la prueba T
Figura 8.19. Comparación entre áreas de la abundancia y riqueza de las praderas de pastos marinos en las estaciones ubicadas en Puerto Bolívar (Bahía Portete, Caribe colombiano). Se indican valores p obtenidos de la prueba T. A1: área de influencia directa; A2: área de influencia indirecta 155
Figura 8.20. Algunos especímenes de la megafauna asociada a pastos marinos registrados durante los muestreos realizados en Bahía Portete (Caribe colombiano). a. <i>Cassiopea</i> sp., b. <i>Vasum muricatum.</i> , c. <i>Mithrax</i> sp Paguridae, d. <i>Lytechinus variegatus.</i> , e. <i>Echinaster</i> sp, f. <i>Fasciolaria tulipa</i> , g. <i>Oreaster reticulatus</i> , h. <i>Isostichopus</i> sp. 157
Figura 8.21. Comparación entre áreas y años de las biomasas foliares y rizoidales obtenidas por los métodos de extracción de cuadrante y corazonador, de las praderas de pastos marinos registradas en las estaciones monitoreadas en bahía Portete (Puerto Bolívar), Caribe colombiano. A1: área de influencia directa; A2: área de influencia indirecta
Figura 8.22. Comparación entre áreas y años para los atributosestructurales densidad de Vastagos porcentaje de cobertura de la pradera de pastos marinos registradas en las estaciones monitoreadas en bahía Portete (Puerto Bolívar), Caribe colombiano A1: área de influencia directa; A2: área de influencia indirecta





Figura 8.23. Comparación año-áreas y épocas de la altura y ancho de las hojas (cm), de las praderas de pastos marinos registradas en las estaciones monitoreadas en bahía Portete (Puerto Bolívar), Caribe colombiano. A1: área de influencia directa; A2: área de influencia indirecta
Figura 8.24. Comparación entre Áreas y Años de la Riqueza y Abundancia de la macrofauna asociada a las praderas de pastos regustradas en las estaciones monitoreadas en bahía Portete (Puerto Bolívar), Caribe colombiano. A1: área de influencia directa; A2: área de influencia indirecta
Figura 9.1. Proceso en campo de las muestras de macroinfauna bentónica. a) Equipo para la de toma de la muestra: Draga Van ven de 0,05 m². b) Lavado-tamizaje de la muestra. c) Narcotización de organismos y d) Fijación con formol al 10% y rosa de bengala
Figura 9.2. Análisis de laboratorio. a) Lavado de muestras sobre tamiz de 500 μm. b) Separación de organismos en grupos mayores. c) Identificación y cuantificación de la macroinfauna a nivel taxonómico de familia por estación. d) Procedimiento para la biomasa húmeda por familia por estación. 167
Figura 9.3. Distribución de familias por phylum y época en la comunidad macroinfaunal de bahía Portete (Puerto Bolívar), Caribe colombiano. Categoría Otros: Brachiopoda, Bryozoa, Chordata, Cnidaria, Echinodermata, Echiurida, Foraminifera, Hemichordata, Nematoda, Nemertea, Platyhelminthes y Porifera.
Figura 9.4. Comparación entre épocas climáticas del número de taxones en la comunidad macroinfaunal de bahía Portete (Puerto Bolívar), Caribe colombiano. Se indican valores W y p obtenidos de prueba Wilcoxon (U)
Figura 9.5. Distribución de organismos por phylum y época en la comunidad macroinfaunal de bahía Portete (Puerto Bolívar), Caribe colombiano. Categoría Otros: Brachiopoda, Chordata, Cnidaria, Echinodermata, Echiurida, Foraminifera, Hemichordata, Nematoda, Nemertea y Platyhelminthes.
Figura 9.6. Comparación entre épocas climáticas de la densidad de organismos en la comunidad macroinfaunal de bahía Portete (Puerto Bolívar), Caribe colombiano. Se indican valores W y p, obtenidos de prueba Wilcoxon (U)
Figura 9.7. Distribución de la biomasa húmeda de organismos por phylum y época en la comunidad macroinfaunal de bahía Portete (Puerto Bolívar), Caribe colombiano. Categoría Otros: Brachiopoda, Chordata, Cnidaria, Echinodermata, Echiurida, Foraminifera, Hemichordata, Nematoda, Nemertea y Platyhelminthes.
Figura 9.8. Comparación entre épocas climáticas de la biomasa húmeda de organismos en la comunidad macroinfaunal de bahía Portete (Puerto Bolívar), Caribe colombiano. Se indican valores W y p, obtenidos de prueba Wilcoxon (U)
Figura 9.9. Representación gráfica de los valores del estadístico W, resultado del análisis de perturbación por curvas ABC (Comparación Abundancia-Biomasa) de la comunidad de bahía Portete (Puerto Bolívar), Caribe colombiano, en las épocas climáticas de lluvias y seca
Figura 9.10. Comparación entre épocas climáticas de los índices ecológicos (d, H', J') de la comunidad macroinfaunal asentada de bahía Portete (Puerto Bolívar), Caribe colombiano. Se indican valores W y p, obtenidos de prueba Wilcoxon (U)
Figura 9.11. Análisis de clasificación a) y Ordenación b), mediante el índice de similaridad de Bray Curtis, de la comunidad macroinfaunal asentada de bahía Portete (Puerto Bolívar), Caribe colombiano.





comunidad macroinfaunal asentada de bahía Portete (Puerto Bolívar), Caribe colombiano. Sectores interno (demarcado en negro) y expuesto (demarcado en azul)
Figura 9.13. Superposición de las variables mejor correlacionadas con el análisis de ordenación de la comunidad macroinfaunal, en época de lluvias (L) y Seca (S). AG: Arena gruesa; L-A: Limos-Arcillas; MO: Materia orgánica; Cr: Cromo; Fe: Hierro. El tamaño de los símbolos es proporcional al valor de cada variable. Estrés: 0,14.
Figura 9.14. Comparación interanual de la distribución por phylum de familias a), y de organismos b), en la comunidad macroinfaunal de bahía Portete (Puerto Bolívar), Caribe colombiano. Categoría Otros: Brachiopoda, Bryozoa, Chordata, Cnidaria, Echinodermata, Echiurida, Foraminifera, Hemichordata, Nematoda, Nemertea, Platyhelminthes, Sipuncula
Figura 9.15. Comparación interanual de la distribución de familias a) y número de individuos b), por estación y años de muestreo en la comunidad macroinfaunal de bahía Portete (Puerto Bolívar), Caribe colombiano. Épocas climáticas L: Lluvias y S: Seca
Figura 9.16. Análisis de clasificación a) y Ordenación b), para evaluar el comportamiento interanual en la comunidad macroinfaunal asentada de bahía Portete (Puerto Bolívar), Caribe colombiano 190
Figura 10.1. Ubicación del transecto y disposición de las parcelas en cada una de las estaciones de muestreo
Figura 10.2. Izquierda: Medición de la circunferencia a la altura del pecho (CAP). Derecha: árboles marcados después de la medición para evitar reconteo
Figura 10.3. Izquierda: Disposición de las subparcelas de regeneración natural en cada una de las parcelas. Derecha: conteo de plántulas y propágulos al interior de cada cuadrante
Figura 10.4. Medición <i>in situ</i> de la temperatura y salinidad del agua intersticial en los bosques de manglar, empleando un conductímetro YSI 30
Figura 10.5. Tubos de salinidad y forma de tomar la medición del agua intersticial. Tomado de Gamba-Blanco <i>et al.</i> (2009)
Figura 10.6. Muestreo de los perfiles de terreno y vegetación. Época seca
Figura 10.7. Ejemplo de gráfico que ilustra la densidad de plántulas y propágulos en cada parcela. Cada segmento claro representa 0,33 plántulas o propágulos·m-2
Figura 10.8. Imagen satelital con los puntos de referencia de cada una de las estaciones en el área de influencia directa (A1). Nótese que el Norte apunta a la derecha. Datos del mapa: Google, DigitalGlobe
Figura 10.9. Estaciones M2 (a – e) y M1 (e - i). Borde entre el mar y el manglar (a, f y g), interior de manglar (b y h), zona entre el manglar y la llanura (c, d y e) y terraza (i)207
Figura 10.10. Estaciones M5 (a - e) y M6 (f - i). Borde (f), interior (a, b, g y h), entre la llanura y el manglar (c, e, i) y llanura y terraza (d)209
Figura 10.11. Estación M7. Manglar de borde de <i>R. mangle</i> (a y b), vista al manglar de borde desde la llanura en marea alta (c) y baja (d), vista al manglar de cuenca de <i>A. germinans</i> desde la llanura (e) e interior del bosque de <i>A. germinans</i> (f) nótese sus problemas fitosanitarios
Figura 10.12. Imagen satelital con los puntos de referencia de cada una de las estaciones fuera del área de influencia (A2). Nótese que el Norte apunta a la derecha. Datos del mapa: Google, DigitalGlobe.





Figura	10.13. Estación M4. Borde de manglar monoespecífico de <i>R. mangle</i> (a y b), manglar monoespecífico de <i>A. germinans</i> (c), manglar mixto (e y f) y claro (f)
Figura	10.14. Estación M3. Borde (a) e interior (b y c) de manglar monoespecífico de <i>R. mangle</i> , manglar monoespecífico de <i>A. germinans</i> (d), vista hacia el manglar (e) se observa zona de <i>B. maritima</i> , pantano, zona de <i>A. germinans</i> y zona de <i>R. mangle</i> y vista al salitral y terraza (f)217
Figura	10.15. Índice de valor de importancia (IVI) de cada especie de mangle por estación. Se indican las estaciones en el área de influencia directa (A1) y en el área de influencia indirecta (A2)
Figura	10.16. Densidad de plántulas y juveniles (arriba) y propágulos (abajo) por tipo de rodal, área, estación, campaña y especie. Las columnas superpuestas muestran la densidad total por época para cada estación/área/rodal. Donde: Rm = <i>Rhizophora mangle</i> , Lr = <i>Laguncularia racemosa</i> y Ag = <i>Avicennia germinans</i> .
Figura	10.17. Salinidad superficial e intersticial promedio en cada uno de los puntos ubicados cada 10 m en la estación M4, única con 100 m continuos de manglar21
Figura	10.18. Comparación de los perfiles de la estación M4 de los años 2009 y 2016. El eje de abscisas representa la distancia horizonal en metros desde el borde del manglar hacia su parte interna. 224





ÍNDICE DE TABLAS

macrofauna bentónica, indicadas en la PTE-490-15. A1: área de influencia directa; A2: área de influencia indirecta
Tabla 4.2. Estaciones de muestreo para calidad de aguas y sedimentos, mineralógico infralitoral y macrofauna bentónica, muestreadas en la campaña realizada durante la época de lluvias (diciembre de 2015) y seca (marzo-abril de 2016). A1: área de influencia directa; A2: área de influencia indirecta
Tabla 4.3. Estaciones de muestreo para el estudio de los componentes Formaciones coralinas, Pastos marinos y Manglares, durante la campaña realizada en la época de lluvias (diciembre de 2015) y seca (marzo-abril de 2016). A1: área de influencia directa; A2: área de influencia indirecta41
Tabla 4.4. Estaciones de muestreo para el análisis mineralógico (contenido de carbón) de playas, durante la campaña realizada en la época de lluvias (diciembre de 2015) y seca (abril de 2016)43
Tabla 5.1. Variables y métodos de análisis para el monitoreo de aguas marinas50
Tabla 5.2. Variables y métodos de análisis de muestras para el monitoreo de sedimentos marinos 51
Tabla 5.3. Valores promedio de temperatura (T), salinidad (Sal), pH y oxígeno disuelto (OD) para diferentes zonas costeras del Caribe colombiano. Se presentan los valores mínimo y máximo entre paréntesis. (*) Monitoreos previos realizados en el sector de Bahía Portete
Tabla 5.4. Valores promedio de Demanda Biológica de Oxígeno (DBO₅), Materia Orgánica oxidable (MO), Sulfatos e Hidrocarburos Totales para diferentes zonas costeras del Caribe colombiano. Se presentan los valores mínimo y máximo entre paréntesis. (*) Monitoreos previos realizados en el sector de Bahía Portete
Tabla 5.5. Valores promedio de Nitritos, nitratos y fosfatos en diferentes zonas costeras del Caribe colombiano. Se presentan los valores mínimo y máximo entre paréntesis. (*) Monitoreos previos realizados en el sector de Bahía Portete
Tabla 5.6. Concentraciones de materia orgánica en sedimentos (mínimo y máximo) en el área de influencia de Puerto Bolívar en el sector de Bahía Portete, La Guajira69
Tabla 5.7. Concentraciones de hidrocarburos aromáticos totales en sedimentos (mínimo y máximo) para diferentes zonas costeras del Caribe colombiano. (*) Monitoreos previos realizados en el sector de Bahía Portete
Tabla 5.8. Valores promedio de plomo (Pb), cromo (Cr), zinc (Zn), cobre (Cu), hierro (Fe), mercurio (Hg) y níquel (Ni) en sedimentos del Caribe colombiano. Valores mínimo y máximo entre paréntesis. (*) Monitoreos previos realizados en el sector de Bahía Portete
Tabla 6.1. Composición granulométrica porcentual de las muestras del infralitoral90
Tabla 6.2. Parámetros estadísticos de la distribución granulométrica (ϕ = -log2 diámetro (mm); σ - desviación estándar) de las muestras tomadas en el infralitoral91
Tabla 6.3. Contenido mineralógico de los sedimentos infralitorales del área A1 (área de influencia directa) en Puerto Bolívar durante la época de lluvias (diciembre de 2015)92
Tabla 6.4. Contenido mineralógico de los sedimentos infralitorales del área A1 (área de influencia directa) frente a la costa entre Puerto Bolívar y el Parque Eólico durante la época de lluvias (diciembre de 2015)93





Tabla 6.5. Contenido mineralógico de los sedimentos infralitorales del área A2 (área de influencia indirecta) en Puerto Bolívar durante la época de lluvias (diciembre de 2015)93
Tabla 6.6. Composición granulométrica porcentual y parámetros estadísticos de la distribución granulométrica (ϕ = -log2 diámetro (mm); σ - desviación estándar) de las muestras de playa en época de lluvias (diciembre de 2015)
Tabla 6.7. Composición granulométrica porcentual y parámetros estadísticos de la distribución granulométrica (ϕ = -log2 diámetro (mm); σ - desviación estándar) de las muestras de playa en época seca (abril de 2016)
Tabla 6.8. Contenido mineralógico de los sedimentos en la estación P1 (Playa Ipari)104
Tabla 6.9. Contenido mineralógico de los sedimentos en la estación P2
Tabla 6.10. Contenido mineralógico de los sedimentos en la estación P3, en época de lluvias 105
Tabla 6.11. Contenido mineralógico aproximado de los sedimentos en la estación P4 105
Tabla 6.12. Contenido mineralógico aproximado de los sedimentos en la estación P5106
Tabla 6.13. Contenido mineralógico de los sedimentos en la estación P6 (Early Coal)106
Tabla 7.1. Descripción de las categorías y subcategorías del sustrato en las formaciones coralinas de bahía Portete
Tabla 7.2. Cobertura (%) promedio de las categorías del sustrato en las formaciones coralinas monitoreadas en bahía Portete. Se unificaron los datos primarios registrados en época lluviosa (diciembre 2015) y época seca (abril 2016)
Tabla 7.3. Cobertura (%) de las subcategorías del sustrato en las formaciones coralinas monitoreadas en bahía Portete. Se unificaron los datos primarios registrados en época lluviosa (diciembre 2015) y época seca (abril 2016)
Tabla 7.4. Taxonomía de las especies de corales identificadas durante el presente monitoreo (2015-2016) en bahía Portete
Tabla 7.5. Registro de presencia/ausencia de las especies de corales hermatípicos en las estaciones de monitoreo de las formaciones coralinas en bahía Portete (2015-2016)
Tabla 7.6. Índices de diversidad de Shannon (H') y equitatividad de Pielou (J') de las formaciones coralinas monitoreadas en bahía Portete en época de lluvias (diciembre 2015) y época seca (abril 2016).
Tabla 8.1. Descripción de las estaciones de pastos marinos ubicadas en el área de influencia de Puerto Bolívar (Bahía Portete, Caribe colombiano). A1: área de influencia directa; A2: área de influencia indirecta
Tabla 8.2. Megafauna asociada a pastos marinos en las estaciones muestreadas en el época de lluvias y seca en Bahía Portete, Caribe colombiano
Tabla 8.3. Comparación Multianual AÑO-ÁREA y AÑO-ÉPOCA (2003-2004; 2009-2010 y 2015-2016) de los atributos de la pradera de fanerógamas en las estaciones ubicadas en Puerto Bolívar (Bahía Portete, Caribe colombiano). Se indican valores p obtenidos de las prueba F (ANOVA) y H (Kruskal-Wallis). Los valores en negrilla muestran los atributos que revelaron diferencias significativas
Tabla 9.1. Resultados de la correlación de Pearson de pares de variables ambientales superiores a 0,95 , medidas en las estaciones muestreadas en bahía Portete (Puerto Bolívar), Caribe colombiano 170





Tabla 9.2. Valores obtenidos en los índices de diversidad de la comunidad de bahía Portete (Puerto Bolívar), Caribe colombiano, en las épocas climáticas de lluvias y seca. Se indican los Promedios (PROM) y desviaciones estándar (±DS)
Tabla 9.3. Análisis multivariado de similaridad (ANOSIM) a una vía, para evaluar diferencias significativas espaciales (épocas climáticas) y temporales (entre estaciones) en la comunidad macroinfaunal asentada de bahía Portete (Puerto Bolívar), Caribe colombiano
Tabla 9.4. Evaluación de la heterogeneidad espacial por medio del análisis de caracterización SIMPER (usando Bray-Curtis). Pr.Dis: promedio de contribución a la disimilaridad; Dis.SD: Cociente (relación de Pr.Dis/desviación estándar de Pr.Dis en todos los pares de muestras). Se muestran las familias que contribuyeron con el 70 % de las diferencias halladas
Tabla 9.5. Resultado del análisis BioEnv entre las variables ambientales del sedimento y la comunidad macroinfaunal asentada en bahía Portete (Puerto Bolívar), Caribe colombiano, mediante el coeficiente de correlación armónico por rangos de Spearman. p=0,0001. Se muestran los cinco mejores resultados. L-A: Limos-Arcillas, Cr: Cromo, MO: Materia Orgánica, Fe: Hierro, AG: Arena Gruesa
Tabla 9.6. Análisis de similaridad (ANOSIM) a una vía, para evaluar diferencias significativas entre años y épocas en la comunidad macroinfaunal asentada de bahía Portete (Puerto Bolívar), Caribe colombiano. En negrita valores significativos.
Tabla 10.1. Resumen de las principales variables estructurales de los manglares estudiados en bahía Portete. Se separan los datos por tipo de rodal, área y estación
Tabla 10.2. Salinidad del agua superficial e intersticial en los manglares estudiados. Se separa la información por tipo de rodal y época. Se muestra el promedio general, por tipo de rodal (gris), área (negrita) y estación (cursiva). La salinidad intersticial es el promedio de la tomada a 0,5 y 1,0 m de profundidad
Tabla 10.3. Temperatura promedio de agua en cada punto separado cada 10 m a lo largo del perfil para cada estación. Se muestran algunos promedios por área
Tabla 10.4. Nivel de agua en cada punto separado cada 10 m a lo largo del perfil para cada estación y época. Se muestran algunos promedios por área
Tabla 10.5. Comparación de los atributos estructurales principales entre los años muestreados para cada área y especie o tipo de rodal





ÍNDICE DE ANEXOS

Anexo 12.1. Prueba de homogeneidad de varianzas (F) y prueba t-Student (T) para establecer diferencias entre niveles en la columna de agua (superficie y fondo). Ho= la variable X tiene varianzas homogéneas
Anexo 12.2. Prueba de homogeneidad de varianzas (F) y prueba de comparación de medias (t-Student, T) y medianas (U de Mann Whitney, W) para establecer diferencias entre épocas climáticas (lluvias y seca), para las variables medidas en la columna de agua. Ho= la variable X tiene varianzas homogéneas
Anexo 12.3. Prueba de homogeneidad de varianzas (F) y prueba de comparación de medias (t-Student, T) y medianas (U de Mann Whitney, W) para establecer diferencias entre épocas climáticas (lluvias y seca), para las variables medidas en el sedimento. Ho= la variable X tiene varianzas homogéneas.
Anexo 12.4. Resultados de las variables fisicoquímicas medidas en la columna de agua, en el área de influencia de puerto Bolívar entre 1987 – 2016. Transparencia (Transp), Temperatura (Temp), Salinidad (Sal), Oxígeno disuelto (OD), Nitritos (NO2), Nitratos (NO3), Fosfatos (PO4), Hidrocarburos Aromáticos Totales (HAT), Demanda Bioquíca de Oxígeno (DBO5), Sulfatos (SO4), Materia Orgánica oxidable (MO). A1: Área de influencia directa, A2: Área de influencia indirecta.
Anexo 12.5. Resultados de las variables fisicoquímicas medidas en el sedimento, en el área de influencia de puerto Bolívar entre 1987 – 2016. A1: Área de influencia directa, A2: Área de influencia indirecta. Materia Orgánica volátil (MO)
Anexo 12.6. Valores promedio (±DE) anual de las variables fisicoquímicas medidas en la columna de agua, en el área de influencia de puerto Bolívar. Temperatura (Temp), Salinidad (Sal), Oxígeno disuelto (OD), Nitritos (NO2), Nitratos (NO3), Fosfatos (PO4), Hidrocaruros Aromáticos Totales (HAT) 266
Anexo 12.7. Valores promedio (±DE) anual de las variables fisicoquímicas medidas en el sedimento, en el área de influencia de puerto Bolívar266
Anexo 12.8. Resultados del análisis granulométrico para las estaciones del infralitoral durante la época de lluvias, formato FT-LabIMA-05 Versión 01
Anexo 12.9. Resultados del análisis granulométrico para las estaciones del infralitoral durante la época seca, formato FT-LabIMA-05 Versión 01
Anexo 12.10. Imagen a 20 x y 40x de los sedimentos de 125 μm y 63 μm. a) Estación F1 época de lluvias, corresponde a arenas calcáreas, carbonatos impregnados de carbón y fragmentos de carbón (señalados en rojo); b) Estación F1 época seca de igual composición. c) Estación F2, época de lluvias corresponden a arenas calcáreas, fragmentos translucidos de cuarzo, carbonatos impregnados de carbón (señalados en rojo); d) época seca de igual composición, fragmentos negros corresponden a carbón (señalados en rojo)
Anexo 12.11. Imagen a 20x y 40x en los sedimentos de fondos para las fracciones de 125 μm y 63 μm. a) Estación F5 época de lluvias, corresponde a arenas calcáreas, carbonatos impregnados de carbón y fragmentos de carbón (señalados en rojo); b) estación F5 época seca de igual composición. c) Estación F6, época de lluvias corresponden a arenas calcáreas de origen orgánico, carbonatos impregnados de carbón y algunos fragmentos de carbón (señalados en rojo); d) época seca de igual composición, fragmentos negros corresponden a carbón (señalados en rojo)
Anexo 12.12. Imagen a 20 x y 40x de los sedimentos de 250 μm y 63 μm. a) Estación F7 época de lluvias, corresponde a arenas calcáreas de origen organica, con contenido de cuarzo; b) estación F7 época





seca de igual composición. c) Estación F8, época de lluvias corresponden a arenas calcáreas de origen orgánico, carbonatos impregnados de carbón; d) época seca de igual composición 270
Anexo 12.13. Imagen a 40x y 20x de los sedimentos de fondos para las fracciones de 63 μm y 250 μm. a) Estación F3 época lluvias corresponde a arenas calcáreas, carbonatos de origen orgánico. b) época seca de igual composición, fragmentos negros corresponden a carbón (señalado en rojo), carbonatos impregnados de polvillo de carbón. c) Estación F4 época de lluvias, corresponde a arenas calcáreas, carbonatos de origen orgánico, carbonatos impregnados de carbón (señalados en rojo). d) época seca de igual composición.
Anexo 12.14. Resultados del análisis graulométrico para las estaciones de playa durante la época de lluvias, formato FT-LabIMA-05 Versión 01
Anexo 12.15. Resultados del análisis granulométrico para las estaciones de playa durante la época seca, formato FT-LabIMA-05 Versión 01
Anexo 12.16. Núcleos de sedimento de la estación P1 (Playa Ipari); Punto P1A: a) época lluvias, b) época seca. Punto P1B: c) época lluvias, d) época seca. Punto P1C: e), época lluvias, f) época seca. Punto P1D: g) época lluvias, h) época seca
Anexo 12.17. Imagen de los sedimentos en la estación P1 para la fracción 125 µm con aumento de 20X. a) Punto P1A época de lluvias, corresponden a arenas calcáreas, fragmentos translucidos de cuarzo, carbonatos impregnados de carbón y algunos fragmentos de carbón (señalado en rojo); b) punto P1A época seca. c) Punto P1B época de lluvias, arenas calcáreas, con cuarzo, carbonatos impregnados de carbón (señalados en rojo); d) P1B época seca, igual composición, algunos cristales de cuarzo rosado (señalados en azul).
Anexo 12.18. Imagen de los sedimentos en la estación P1 para la fracción 125 µm con aumento de 20X. a) Punto P1C época de lluvias, corresponden a arenas calcáreas, fragmentos translucidos de cuarzo, carbonatos impregnados de carbón y algunos fragmentos de carbón (señalado en rojo); b) punto P1C época seca, igual composición. c) Punto P1D época de lluvias, arenas calcáreas, con cuarzo, carbonatos impregnados de carbón (señalados en rojo); d) P1D época seca, igual composición.
Anexo 12.19. Núcleos de sedimento de la estación P2; Punto P2A: a) época lluvias, b) época seca. Punto P2B: c) época lluvias, d) época seca
Anexo 12.20. Imagen de los sedimentos en la estación P2 para la fracción 250 µm con aumento de 10X. a) Punto P2A época de lluvias, corresponden a arenas calcáreas, fragmentos translucidos de cuarzo, fragmentos de cuarzo rosa (señalado en azul); b) punto P2A época seca, igual composición. c) Punto P2B época de lluvias, arenas calcáreas, con cuarzo, esporádico carbonatos impregnados de carbón (señalados en rojo); d) P2B época seca, igual composición
Anexo 12.21. Núcleos de sedimento de la estación P3; Punto P3A: a) época lluvias, b) época seca. Punto P3B: c) época lluvias, d) época seca
Anexo 12.22. Imagen a 10X de los sedimentos en la estación P3 para la fracciones de 250 µm a 500 µm. a) Punto P3A época de lluvias, corresponden a arenas calcáreas, fragmentos translucidos de cuarzo, esporádicos fragmentos de minerales maficos y pequeñas impregnaciones de carbón en carbonatos; b) punto P3A época seca, igual composición. c) Punto P3B época de lluvias, arenas calcáreas, con cuarzo traslucido y rosa (señalado de azul), esporádico carbonatos impregnados de carbón (señalados en rojo); d) P3B época seca, igual composición, con algunos fragmentos de carbón (señalados de rojo).
Anexo 12.23. Núcleos de sedimento de la estación P4; Punto P4A: a) época de lluvias, b) época seca. Punto P4B: c) época lluvias, d) época seca





Anexo	12.24. Imagen a 10X de los sedimentos en la estación P4 para la fracciones de 250 µm a 500 µm. a) Punto P4A época de lluvias, corresponden a arenas calcáreas, fragmentos translucidos de cuarzo y cuarzo rosado, esporádicos fragmentos de minerales maficos y pequeñas impregnaciones de carbón en carbonatos y sobre los fragmentos de coral (señalados en rojo); b) punto P4A época seca, igual composición. c) Punto P4B época de lluvias, arenas calcáreas, con cuarzo traslucido, esporádica presencia de maficos; d) P4B época seca, igual composición, con algunas manchas por polvillo de carbón (señalados de rojo)
Anexo	12.25. Núcleos de sedimento de la estación P5; Punto P5A: a) época lluvias, b) época seca. Punto P5B: c) época lluvias, d) época seca
Anexo	12.26. Imagen a 20X y 10X de los sedimentos en la estación P5 para la fracciones de 125 μm y 500 μm. a) Punto P5A época de lluvias, corresponden a arenas calcáreas, fragmentos translucidos de cuarzo, fragmentos de conchas y algunos fragmentos de carbón (señalado en rojo); b) punto P5A época seca, igual composición, fragmentos oscuros de restos de materia organica. c) Punto P5B época de lluvias, arenas calcáreas, con cuarzo, esporádico carbonatos impregnados de carbón (señalados en rojo); d) P5B época seca, igual composición, con algunos fragmentos de carbón (señalados de rojo).
Anexo	12.27. Núcleos de sedimento de la estación P6; Punto P6A: a) época seca. Punto P6B: b) época lluvias, c) época seca
Anexo	12.28. Imagen a 10X de los sedimentos en la estación P6 para la fracciones de 250 μm. a) Punto P6A época seca, corresponden a arenas calcáreas, fragmentos de cuarzo, esporádicos fragmentos de minerales maficos e impregnaciones de carbón sobre carbonatos (señaladas en rojo); b) Punto P6B época de lluvias, arenas calcáreas, traslucido y fragmentos de carbón (señalados en rojo); c) P6B época seca, igual composición, con algunos fragmentos de carbón (señalados de rojo) 286
Anexo	12.29. Porcentajes de cobertura del sustrato en las formaciones coralinas presentes en las seis estaciones monitoreadas en el área de estudio, durante las dos épocas climáticas (lluvias – diciembre de 2015 – y seca – abril de 2016 –)
Anexo	12.30. Porcentajes de cobertura (promedio ± desviación estándar) de las subcategorías del sustrato en las formaciones coralinas monitoreadas en bahía Portete. a) INVEMAR (2004); b) Sánchez <i>et al.</i> (2010)
Anexo	12.31. Distribución de los datos de abundancia, según la prueba de umbrales de la Ley de Taylor, de las formaciones coralinas presentes en las seis estaciones monitoreadas en el área de estudio, durante las dos épocas climáticas (lluvias – diciembre de 2015 – y seca – abril de 2016 –) 293
Anexo	12.32. Valores promedio y desviaciones estándar de las diferentes Categorias encontradas en la cobertura de la pradera de pastos en Bahia Portete (Puerto Bolívar), Caribe colombiano294
Anexo	12.33. Valores promedio y desviaciones estándar de las Biomasas de hojas y raíces tomadas con corazonador y cuadrante en la época de lluvia y seca y, Áreas en Bahia Portete (Puerto Bolívar), Caribe colombiano
Anexo	12.34. Valores promedio y desviaciones estándar de la Cobertura, Densidad, Alto y Ancho de Hoja, en la época de lluvia y seca en Bahia Portete (Puerto Bolívar), Caribe colombiano
Anexo	12.35. Número de Familias y Número de Individuos de la Macrofauna Asociada a la pradera de pastos en la época de lluvia y seca en Bahia Portete (Puerto Bolívar), Caribe colombiano
Anexo	12.36. Riqueza y abundacia de los Phylum más representativos (Annelida, Arthropoda, Mollusca, Nematoda y Otros) de la Macrofauna Asociada a la pradera de pastos en la época de lluvia y seca en Bahia Portete (Puerto Bolívar), Caribe colombiano





(2.37. Clasificación taxonómica de la comunidad de fondos blandos presente en bahía Portete (Puerto Bolívar), Caribe colombiano, durante los muestreos realizados en las épocas de lluvias (diciembre de 2015) y Seca (Abril-Marzo de 2016). Los asteriscos indican niveles taxonómicos diferentes a especificado, ya sea porque la familia no lo tiene o en el caso de los morfotipos se indica el nivel más bajo a el que pudo identificarse.
	2.38. Resultados de pruebas de normalidad Shapiro Wilks (a), y homogeneidad de varianza (Prueba F) (b), para los atributos comunitarios e índices de diversidad de la comunidad macroinfauna encontrada en bahía Portete (Puerto Bolívar), Caribe colombiano, en las épocas climáticas de lluvias y seca.
(2.39. Distribución de los datos de abundancia, según la prueba de umbrales de la Ley de Taylor, de la comunidad macroinfaunal encontrada en bahía Portete (Puerto Bolívar), Caribe colombiano, a) en las épocas climáticas de lluvias y seca entre 2015 y 2016, y b) entre los años 2004, 2010, y 2016.
1	2.40. Matriz de Abundancia de taxones por estación (ind·0,10 m ⁻²) y Clasificación taxonómica de la comunidad de fondos blandos presente en bahía Portete (Puerto Bolívar), Caribe colombiano, durante los muestreos realizados en las épocas de lluvias (diciembre de 2015) y Seca (Abril-Marzo de 2016). Los asteriscos indican niveles taxonómicos diferentes al especificado, ya sea porque la familia no lo tiene o en el caso de los morfotipos se indica el nivel más bajo a el que pudo identificarse. L: época de lluvias; S: época seca
 	12.41. Matriz de biomasa húmeda de taxones por estación (g·0,10 m-2), de la macroinfauna bentónica en bahía Portete (Puerto Bolívar), Caribe colombiano, durante los muestreos realizados en las épocas de lluvias (diciembre de 2015) y Seca (Abril-Marzo de 2016). Los asteriscos indicar niveles taxonómicos diferentes al especificado, ya sea porque la familia no lo tiene o en el caso de los morfotipos se indica el nivel más bajo a el que pudo identificarse. L: época de lluvias; S: época seca
 	12.42. Matriz de Abundancia de taxones por estación (ind·0,1 m-2) de la comunidad de fondos blandos presente en bahía Portete (Puerto Bolívar), Caribe colombiano, durante los muestreos realizados en las épocas de lluvias y seca en los años 2004 y 2010. Los asteriscos indican niveles taxonómicos diferentes al especificado, ya sea porque la familia no lo tiene o en el caso de los morfotipos se indica el nivel más bajo a el que pudo identificarse
(12.43. Variables ambientales medidas en el sedimento de bahía Portete (Puerto Bolívar), Caribe colombiano, tenidas en cuenta para relacionar con la comunidad macroinfaunal, durante los muestreos realizados en noviembre de 2015 y marzo-abril de 2016. L. Lluvias; S: seca325

Anexo 12.44. Diagrama de puntos (Daftman plots) para observar la distribución de los datos de las variables

Granulos (G), Arena muy gruesa (AMG), Arena gruesa (AG), Arena media (AM), Arena fina (AF), Arena muy fina (AMF), Limo-Arcilla (L-A), Cromo (Cr), Zinc (Zn), Níquel (Ni), Hierro (Fe), Plomo (Pb), Hidrocarburos aromáticos totales (HAT), Materia orgánica (MO), Materia orgánica oxidable (MO ox), a) Daftman plots inicial y b) Daftman plots con tranformación de la variable AF. 326